

Н. Н. БАУТИН

## О ЗАДАЧЕ Л. И. МАНДЕЛЬШТАМА В ТЕОРИИ ЧАСОВ

(Представлено академиком А. А. Андроновым 21 I 1949)

1. Простейшие часы, как механическая автоколебательная система с двумя степенями свободы, состоят из двух главных частей: балансира (регулятора), взаимодействующего с ходовым колесом, и самого ходового колеса, увлекаемого во вращение постоянным моментом. В зависимости от того, будет ли балансир обладать собственным периодом или таковым обладать не будет, мы получим часы Галилея — Гюйгенса или до-галилеевы часы.

В 1944 г. Л. И. Мандельштамом была поставлена следующая задача: сравнить производные  $\partial\tau/\partial\lambda_i$  (где  $\tau$  — период автоколебаний, а  $\lambda_i$  — соответствующие параметры: постоянный момент, вращающий ходовое колесо, коэффициент восстановления неупругого удара, коэффициент вязкого трения и т. д.) для часов Галилея — Гюйгенса и для аналогичных (но без восстанавливающей силы) до-галилеевых часов. При этом Л. И. Мандельштам выразил уверенность, что это сравнение позволит точно сформулировать динамические особенности часов Галилея — Гюйгенса по сравнению с до-галилеевыми часами и, следовательно, позволит точно охарактеризовать роль восстанавливающей силы, т. е. роль пружины или маятника как стабилизатора периода автоколебаний часов.

В настоящей заметке эта задача решается для некоторой идеальной модели часов, обладающей, однако, двумя степенями свободы. Последнее обстоятельство является существенным, так как рассмотрение моделей с одной степенью свободы, во-первых, не всегда позволяет сделать правильные выводы об устойчивости интересующих теорию часов движений и, во-вторых, не позволяет проследить зависимость от параметров балансира и ходового колеса перехода часов с режима противоударов на режим подталкивающих ударов.

2. Рассмотрим, пренебрегая твердым трением, идеальную модель часов, имеющую две степени свободы (1). Период  $2\tau$  рассматриваемого периодического движения системы будет зависеть от параметров  $J, k, p, h, x$ , характеризующих:  $J$  ( $J > 0$ ) — отношение моментов инерции балансира и ходового колеса;  $k$  ( $0 \leq k < 1$ ) — коэффициент восстановления при ударе;  $p$  ( $p > 0$ ) — вращающий момент на оси ходового колеса;  $h$  ( $h \geq 0$ ) — вязкое трение и  $x$  ( $x \geq 0$ ) — упругость пружины балансира. Эта зависимость для рассматриваемой модели дается, согласно (1), уравнением

$$p\tau^2 [2\alpha - \beta + 2(1 - \alpha)u(h, x; \tau)] = \beta, \quad (1)$$

где  $\alpha = (J - k)/(1 + J)$  и  $\beta = \alpha + k$ ;  $u(h, x; \tau)$  для модели часов Галилея — Гюйгенса имеет вид:

$$u(h, \kappa; \tau) = \frac{e^{-h\tau} \left( \cos \omega\tau + \frac{h}{\omega} \sin \omega\tau \right) + 1}{e^{-2h\tau} + 2e^{-h\tau} \cos \omega\tau + 1} \quad (\omega = \sqrt{\kappa - h^2}), \quad (2)$$

а для модели до-галилеевых часов

$$u(h, 0; \tau) \equiv v(h, \tau) = \frac{1}{1 + e^{-2h\tau}}. \quad (3)$$

Периодическое движение будет устойчиво, если выполняются условия:

$$\begin{aligned} A &= \beta(2\alpha - \beta) \frac{1}{g} + \beta(1 - \alpha) [2(1 - \bar{a}_1) - g(\tau)\Phi_1] > 0, \\ B &= [\alpha^2 + (\alpha - \beta)^2](b_1 - a_1) + 2[1 + (1 - \beta)^2] - 2g(1 - \alpha)^2(1 - \bar{a}_1)^2 + \\ &+ [2(1 - \alpha)^2 - (1 - \beta)^2 - 1](1 - \bar{a}_1) - \beta(1 - \alpha)[2\bar{a}_0 + g\tau\Phi_2] > 0, \\ C &= 4[1 + (\alpha - \beta)^2 b_1] - B > 0, \\ D &= 2 - \frac{A+B}{2} + \frac{B-A}{2}(\alpha - \beta)^2 b_1 - 2(\alpha - \beta)^4 b_1^2 > 0, \end{aligned} \quad (4)$$

где

$$\frac{1}{g} = e^{-2h\tau} + 2e^{-h\tau} \cos \omega\tau + 1, \quad b_1 = e^{-2h\tau}, \quad \bar{a}_0 = \frac{1}{\omega\tau} \sin \omega\tau,$$

$$b_1 - a_1 = e^{-2h\tau} + e^{-h\tau} \left( \frac{h}{\omega} \sin \omega\tau - \cos \omega\tau \right),$$

$$1 - \bar{a}_1 = 1 + e^{-h\tau} \left( \frac{h}{\omega} \sin \omega\tau + \cos \omega\tau \right),$$

$$\Phi_1 = e^{-h\tau} \left[ \frac{h^2 - \omega^2}{\omega} (1 - e^{-2h\tau}) \sin \omega\tau - 2h(1 + e^{-2h\tau}) \cos \omega\tau - 4he^{-h\tau} \right],$$

$$\Phi_2 = e^{-h\tau} \left[ \frac{\omega^2 - h^2}{\omega} (1 + e^{-2h\tau}) \sin \omega\tau + 2h(1 - e^{-2h\tau}) \cos \omega\tau \right].$$

3. Различие в динамических свойствах часов Галилея—Гюйгенса и до-галилеевых часов тесно связано с различием в поведении последовательностей функций  $u_\nu(h_\nu, \kappa; \tau)$  и  $v_\nu(h_\nu, \tau)$  при  $h_\nu \rightarrow 0$ . Нетрудно показать, что для любого  $\kappa > 0$  и любого положительного  $\tau \neq \frac{\pi}{\sqrt{\kappa}}(2n+1)$

$= 0, 1, \dots$ ) предельные значения функций  $u_\nu$  и  $v_\nu$  для часов Галилея—Гюйгенса и для до-галилеевых часов совпадают:

$$\lim_{h_\nu \rightarrow 0} u_\nu(h_\nu, \kappa; \tau) = \lim_{h_\nu \rightarrow 0} v_\nu(h_\nu, \tau) = \frac{1}{2}.$$

Однако последовательность функций  $u(h_\nu, \kappa; \tau)$  для часов Галилея—Гюйгенса (в отличие от последовательности функций  $v_\nu(h_\nu, \tau)$  для часов до-галилеевых) сходится при  $h_\nu \rightarrow 0$  к предельной функции неравномерно и предельная функция при  $\tau = \frac{\pi}{\sqrt{\kappa}}(2n+1)$  имеет разрыв. Последовательность кривых  $u_\nu(h_\nu, \kappa; \tau)$  сходится при  $h_\nu \rightarrow 0$  к предельной кривой, содержащей при  $\tau = \frac{\pi}{\sqrt{\kappa}}(2n+1)$  „отрезок“  $u \geq 1/2$ .

На рис. 1 для часов Галилея — Гюйгенса приведены кривые зависимости полупериода  $\tau$  от величины  $p$ , характеризующей вращающий момент на оси ходового колеса. Кривые построены по уравнениям (1) и (2) для различных значений  $h$  и фиксированных значений остальных параметров. Замечательным является наличие у предельной кривой горизонтального отрезка  $AB$ . Наличие такого отрезка представляет характерную особенность часов Галилея — Гюйгенса и позволяет для достаточно малого  $h$  и значений  $\tau$ , близких к значению  $\pi/\sqrt{\kappa}$  (характеризующему полупериод собственных колебаний балансира), найти на кривых участки сколь угодно малого наклона. На рис. 1 и 2 жирными линиями выделены участки кривых, соответствующие устойчивым режимам, для которых условия (4) выполняются. Из рис. 1 видно, что при  $h \rightarrow 0$  область устойчивых режимов изменяется таким образом, что как раз участки кривых с малым наклоном, примыкающие к отрезку  $AB$ , оказываются неустойчивыми (так как выражение для коэффициента  $B$  в (4) из-за члена  $g\Phi_2$  становится при  $h \rightarrow 0$  и  $\omega\tau \rightarrow \pi$  отрицательным). Нельзя поэтому, располагаясь одной только величиной параметра  $h$ , одновременно удовлетворить требованиям заданной малости  $d\tau/dp$  и условиям устойчивости.

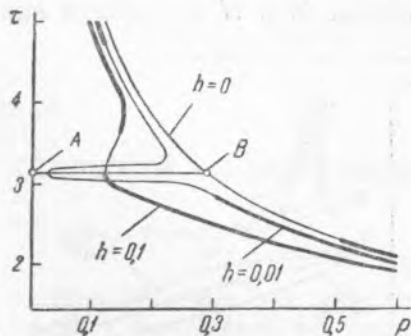


Рис. 1

Можно, однако, показать, что для часов Галилея — Гюйгенса совместным изменением параметров системы возможно одновременно удовлетворить как условиям заданной малости производных, так и условиям устойчивости.

**Теорема 1.** Для рассматриваемой модели часов Галилея — Гюйгенса при любом фиксированном  $\tau$  ( $\tau > 0$ ), любом фиксированном  $k$  ( $0 \leq k < 1$ ) и сколь угодно малом  $\varepsilon > 0$  можно так выбирать значения параметров системы  $\kappa, J, h, p$ , что будут удовлетворяться условия устойчивости периодического решения по отношению к изменению начальных условий (в смысле Ляпунова) и неравенства

$$\frac{\partial \tau}{\partial p} < \varepsilon, \quad \frac{\partial \tau}{\partial J} < \varepsilon, \quad \frac{\partial \tau}{\partial h} < \varepsilon, \quad \frac{\partial \tau}{\partial k} < \varepsilon, \quad (A)$$

характеризующие стабильность периода по отношению к изменению параметров.

**Теорема 2.** Для рассматриваемой модели до-галилеевых часов (т. е. при  $\kappa = 0$ ) нельзя распорядиться параметрами  $J, h, p$  так, чтобы при фиксированных  $\tau$  и  $k$  и при любом заданном  $\varepsilon$  удовлетворить условия (A).

4. Различия в динамических свойствах часов Галилея — Гюйгенса, работающих в режиме с противоударами, и часов Галилея — Гюйгенса, работающих в режиме с подталкивающими ударами, устанавливается теоремой:

**Теорема 3.** Пусть  $\varepsilon_\nu$  ( $\nu = 1, 2, \dots$ ) — монотонно убывающая последовательность, сходящаяся к нулю, и  $M_\nu(\kappa_\nu, h_\nu, J_\nu; k, \tau)$  ( $\nu = 1, 2, \dots$ ) — соответствующая последовательность точек в пространстве параметров такая, что для каждого  $\nu$  ( $\nu = 1, 2, \dots$ ) условия устойчивости периодического движения и условия (A) тео-

ремы 1 выполняются. Тогда для всех  $\nu$ , начиная с некоторого  $\nu=N$ , рассматриваемое периодическое движение будет периодическим движением с подталкивающими ударами.

5. На рис. 2 приведены кривые зависимости полупериода  $\tau$  от величины  $\rho$ , характеризующей вращающий момент, построенные для фиксированных значений параметров  $\kappa$  и  $k$  ( $\kappa=1, k=0,5$ ) и различных  $h$  и  $J$ , связанных соотношением  $\alpha \equiv \frac{J-k}{1+J} = 1-2h$ . Жирными линия-

ми выделены участки кривых, соответствующие устойчивым режимам. Точками  $M$  и  $N$  на каждой кривой выделены участки, соответствующие режиму подталкивающих ударов. Чертеж иллюстрирует теоремы 1 и 3. На рис. 2 видно, как при  $h \rightarrow 0$  и  $\alpha \rightarrow 1$  участки кривых, соответствующие подталкивающим ударам, стягиваются к горизонтальному отрезку предельной кривой.

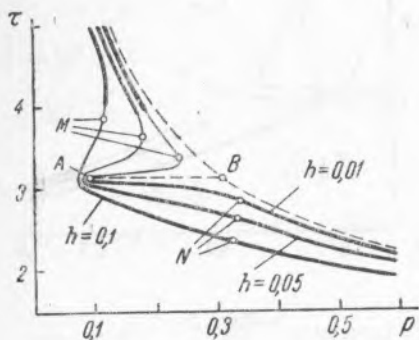


Рис. 2

6. Сравнение предельных кривых (для  $h=0$ ) для часов Галилея — Гюйгенса и до-галилеевых часов, совпадающих повсюду, где совпадают предельные значения функций  $u(h, \kappa; \tau)$  и  $v(h, \tau)$ , позволяет обнаружить для рассматриваемой модели факт точного совпадения периодов у часов Галилея — Гюйгенса и до-галилеевых часов при отсутствии

затухания и равенстве всех остальных параметров (хотя амплитуда колебаний и места соударения при этом различны).

Заметим также, что для устойчивости до-галилеевых часов — в предположении мгновенной передачи импульса — необходимо условие  $J < 1$  (2). Наличие собственного периода может сообщать устойчивость и тем режимам, где  $J > 1$ .

Физико-технический институт  
Горьковского государственного университета

Поступило  
5 I, 1949

#### ЦИТИРОВАННАЯ ЛИТЕРАТУРА

- <sup>1</sup> Н. Н. Баутин, ДАН, 61, № 1 (1948). <sup>2</sup> А. А. Андронов и Ю. И. Неймарк, ДАН, 51, № 1 (1945).